

669.14.018.29: 539.422

(377) 構造用鋼 S 25C, S 45C, SM 50 の静水引張応力状態下での破壊挙動および
破壊挙動図東北大学 金属材料研究所 ○前藤栄 志村宗昭
田中英八郎

1. 緒言 静水引張応力状態下での金属材料の破壊挙動を調べることは構造物の破壊問題を検討する場合やbulk材の塑性加工性(変形能)を評価する時に重要な意義を有する。静水引張応力が延性破壊¹⁾あるいはへき開破壊²⁾に対して強い影響を及ぼすことについてはこれまでにも指摘されてはいるが、データの蓄積才極めて少ないのである。本研究においては静水引張応力を定量的に扱うことのできるBridgeman型試験片を用いて引張試験を行い、静水引張応力状態下での構造用鋼 S 25C, S 45C, SM 50 の破壊挙動を調べた。また、得られた結果を三次元的に表示した“破壊挙動図”を呈示し、総括的検討を加えた。

2. 実験方法 供試材は通常の工程を経て $\phi 50$ の棒鋼 S 25C, S 45C, および厚さ 50 mm の板鋼 SM 50 である。これらより、Dandik³⁾の式に基づき決定される種々の “natural necking profile” を有する Bridgeman 型試験片を数値計算旋盤により作製した。寸法は最小直径($z\lambda$)を 16 mm (一定)とし、最大接触円の半径(R)を 3 ～ 45 mm とした(phot. 1)。インストロン型試験機を用い、クロスヘッド速度 0.5 mm/min で引張試験を行った。試験温度は -75°C ～ 25°C である。入力エネルギーを連続的に写真撮影することにより求め、これらの値を用いて Bridgeman の解析結果 [(1)式] により最大静水引張応力 σ_{y0} を算出した。

$$\sigma_{y0} = \frac{1}{3} + \ln \left(1 + \frac{\Delta E}{E_0} \right) \dots \dots (1)$$

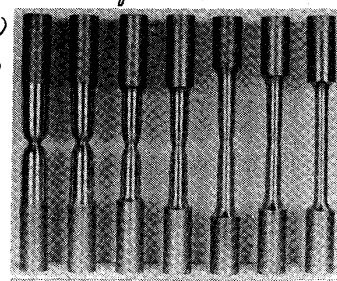


Photo. 1 試験片外観

3. 結果 試験結果を静水引張応力一破断ひずみ一温度の三次元空間に図示したのが Fig. 1 の “破壊挙動図” である。図中、領域(a), (b), (c)は破面の破壊様式を示し、(a)は全面延性破壊、(b)は中心部から dimple fracture でその周囲がへき開破壊である bimodal 破壊、(c)は全面へき開破壊を示す。Fig. 1 より以下のことがわかつ。①破壊ひずみに対する静水引張応力依存性が示され、SM 50 が最も顕著である。②観察された破面形態は上記(a), (b), (c)の三種類である。bimodal 破壊は破壊進行過程で破壊様式の遷移が生じた結果によると考えられる。③静水引張応力(負圧)に依存する破壊様式の遷移が観察され、これは延性一脆性遷移圧力(負圧)の存在を示唆するものと考えられる。④静水引張応力状態下での破壊挙動は材料によつて顕著な差異があることがわかつ。

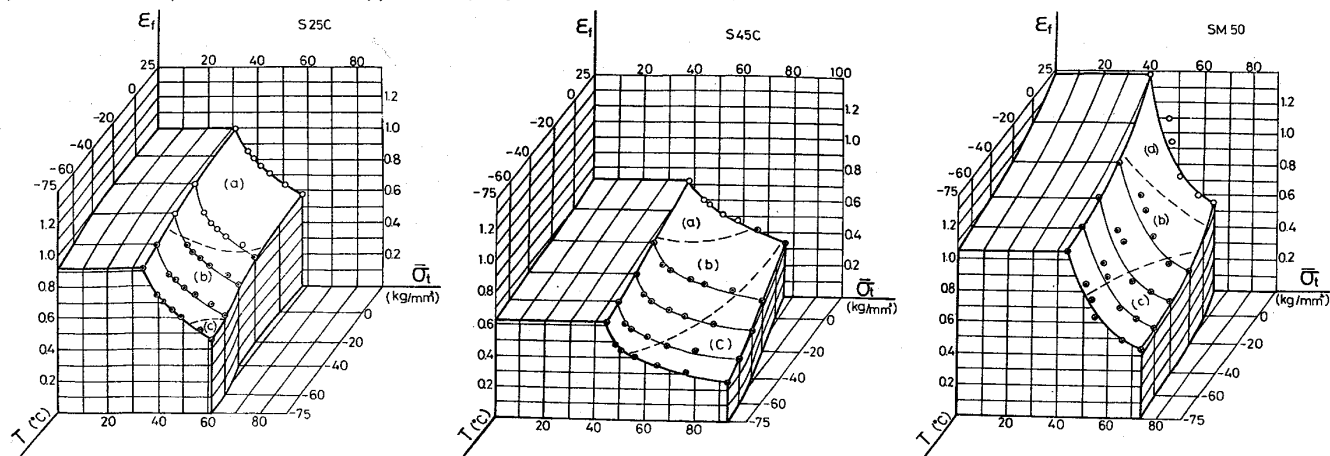


Fig. 1 破壊挙動図

参考文献 1) 例えれば、J.R. Rice & D.M. Tracey: J. Mech. Phys. Solids 17 (1969) 201

2) D. Francois: ICF4 vol. 1, (1977) 805 3) I.G. Dandik: Strength Mater., (1972) 937